

大阪大学工学部 正員 室田 明
大阪府立工業高等専門学校 正員 多田博登
大阪大学工学部 正員 平田健正

1. はじめに；移動床流れにおける流砂量および河床波の形成・発達は、直接的には河床波上の砂粒運動によって規定される。二つより砂粒運動を高速度カメラを用いて実験的に観測を行ひ、前報等^(1,2)において砂粒運動速度の分布特性などについて説明を行なった。本報では平均砂粒運動速度と平均水理量とのように関係しているかについてさらに若干の検討を加えたものである。

2. 実験；実験水路は長さ 20m, 幅 50cm, 高さ 32cm のアクリル階層型可変勾配水路で、実験砂として $d_{50} = 0.026\text{ cm}$ および 0.041 cm のほか均一な二種を用いた。実験範囲は、水路勾配 $1/2000 \sim 1/100$, Fr 数 $0.22 \sim 1.25$ であり、河床形態は砂疊下に遷移領域の平坦河床が含まれる。

実験はまず水路底に砂を平坦に敷きつめ所定の流量を直流水する。砂疊領域では単位時間とともに徐々に河床波が形成されていくが、河床波の形成される前の平坦河床を、遷移領域の平坦河床(t.f.b.)と区別して初期平坦河床(i.f.b.)とする。流れは常に準流状態を保つように水路下流端の堰を調整する。からかじめ決めておいた時間において、水路断面中央の河床面上の砂粒運動を 16mm 高速度カメラにより撮影を行なう。撮影例の面積は約 $1\text{ cm} \times 1\text{ cm}$, フォト速度は毎秒 200コマまで $\sim 4000\text{コマ}$, 撮影時間はそれを $\sim 20\text{ 秒} \sim 10\text{ 秒}$ である。河床波が形成されている場合は、クレスト上流側背面を撮影した。直後に水を止めるボルト式砂面計にて水路断面中央に沿って河床能動形状を計測した。流砂量 q_B は水路の干流に設けた流動水槽に堆積した量を計測して求めた。

3. 砂粒運動速度と移動砂粒数；ダイナミックフレームを用いて、撮影されたフィルム画面上を移動していく砂粒について、フィルム 1コマまで 2コマの間に移動した距離から得られる移動速度、および画面上の砂粒 1コド着目して、その砂粒が移動を開始するか画面に侵入してから、通過までの停止までの距離と時間から得られる移動速度を得た。両者は分布特性は異なるが、平均値 [ms] はほぼ等しい。また移動砂粒数 [q_B] (コ数または体積) は画面上に設けた流れ方向に直角な線分で通過する砂粒の量から求められるもので局所的流砂量である。以上のよう画面上から得られる砂粒運動は全て contact load である。 $d = 0.026\text{ cm}$ に対する沈降速度は $w_0 = 3.3\text{ cm/sec}$ であるから、浮遊限界は $u_* = w_0$ により実験範囲では浮遊砂として流下するものも考慮される。しかし砂疊領域においては、河床背面上では浮遊砂は観測されず、遷移領域においてもせいぜい高さ数 mm という距離であるから、画面に十分とじこらねていると思われる。浮遊砂は contact load に比べオーダー的に十分小さいものと考えられる。[ms] は河床近傍流速の代表値 u_* を整理すると、i.f.b. と t.f.b. では異なる特性を示す。⁽³⁾ いま簡単に以下の検定を行なう。1コの砂粒に働く流体抵抗と摩擦抵抗が等しいとする。

$$(U - U_s)^2 = \frac{4}{3} d \cdot g (\rho/\rho - 1) (\cos \theta \tan \varphi' + \sin \theta) / C_D \quad (1)$$

ここで、 U : 粒子に働く流体の流速の代表値、 $\tan \theta$: 河床勾配、 $\tan \varphi'$: 動摩擦係数、およびその他慣用の記号を用いる。流速分布は乱流であれば

$$U/U_* = 8.5 + 5.75 \log_{10} Z/k_s \quad (2)$$

ここで、 $k_s = d_{50}$, $Z = \alpha d_{50}$ とし、本実験範囲では $C_D = 10(Ud/D)^{-1/2}$ を用いること、実測の $[ms]$ と相当下の X や求まる。 α は平均的な砂粒運動の高さを表すようパラメーターであると考えられる。Fig. 1 は Fr 数との関係を示す。ここで Fr 数は、本実験のようにいきなり狭い範囲では、河床の飛躍を表すよつはパラメーターであると考えられるから、 $[ms]$ は X によらず河床波の飛躍にともな、直線的に表すことができる。

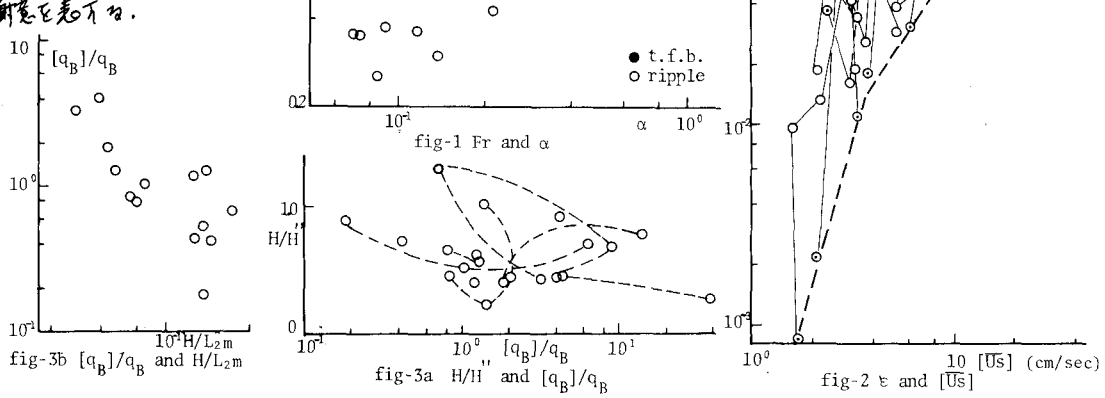
いま $[q_B]$ は簡単に次のように表わされるとする。

$$[q_B] = \frac{1}{T} \int_{t_0}^{t_0+T} \left(\sum_i^n u_{s_i} \right) dt \cong c \cdot n \cdot [\bar{u}_s] \quad (2)$$

ここで、 n : 単位面積当たり d_{50} 深さに存在する砂粒数、 c : ナノウツから移動している砂粒数の割合である。Fig.-2 は $\varepsilon = [q_B]/[\bar{u}_s]/n$ と $[\bar{u}_s]$ の関係を示している。シンボル○、○および△はそれぞれ i.f.b.、t.f.b.、波形形状および T.f.b. の値を表す。図から、i.f.b. および T.f.b. では比較的よく線上に棲む、いる。また各 $[\bar{u}_s]$ の値におけるその範囲中の最小値の位置にある。河床波が形成されて行く成長過程では、 $[\bar{u}_s]$ はあまり変化しないが、平行帶に i.f.b. の値より大きくなり、1 オーダー以上增加を示す。これは波形によって底面の乱れが進行砂粒数の増加を伴なうものであること、また波形の存在のため、流砂量の観測値が大きすぎてしまう可能性を考慮せねばならない。成長に伴なうもと $[\bar{u}_s]$ の関係の変化は、水路全体の河床波の成長初期までは成熟期等に下限關係があることから、個々の観測した特定波形のみで除外するよりもよりよろしい。t.f.b. では、距離を用いてプロットしているが、i.f.b. の範囲の上方にはびらついていてこれを越えることはない。以上から $[\bar{u}_s]$ からは本実験範囲では互いに独立であると考えられるが、i.f.b. の値と結ぶ範囲を下限として約 10 倍の幅でも範囲に含まっていることは興味深い。砂粒が河床面を移動するととき、表層だけではなく下層も移動すると考えれば、これに対するような移動層厚を考慮する必要があるが、反応堆積域は < 1.0 となるため、移動層厚として d_{50} を採用するなどは妥当であり。

4. 流砂量と移動層厚比；河床上の局所的な $[q_B]$ と、平均的な q_B は当然異なる値を持つ。この比 $B = [q_B]/\bar{q}_B$ は河床波の流砂量に対する効果を表すものである。 $\alpha = H/L_2$ 、特徴高さ、波高分布における $1/3$ 波長波高の比 H/H' の関係を Fig. 3a に示すが、波高のみの効果は見られない。また波形勾配の分布は、同一砂の河床領域では全く等しいことから、特定波形の波形勾配をプロットしたもののが Fig. 3b である。ばらつきはあるが H/L_2 の増加により B は減少する傾向を示している。また分布形の平均値 $/10$ 附近で $B = 1$ となるのは興味深い。通常 $B > 1$ が期待されるよりも多く思われるが、波形の 3 次元性などにより $B < 1$ の場合も起り得る。さらに波形の効果について検討を加える予定である。

最後に本研究は文部省科学研究費補助金の援助を受けて行われたものであり、記して謝意を表す。



- 1) 室田・多田・平田「河床波上の砂粒運動の特性について」第29回年講, S.49.10.
- 2) 室田・多田・平田「河床波上の砂粒運動と流砂量に関する実験的研究」第19回水講, S.50.2.
- 3) 室田・多田・平田「河床波上の砂粒運動と波形の関連について(第2報)」S.50 年度内西年講, S.50.4.